УДК 517.9+530.182+533.9

# АНАЛИЗ СИНХРОННОЙ ДИНАМИКИ СВЯЗАННЫХ ГЕНЕРАТОРОВ НА ВИРТУАЛЬНОМ КАТОДЕ С ПОМОЩЬЮ РАСЧЁТА СПЕКТРА ПОКАЗАТЕЛЕЙ ЛЯПУНОВА

 $\Gamma$ . B. Ocunoe <sup>1</sup> \*, H. C. Фролов <sup>1,2,3</sup>

 $^1$  Нижегородский госуниверситет им. Н. И. Лобачевского, г. Нижний Новгород;  $^2$  Саратовский государственный технический университет им. Ю. А. Гагарина, г. Саратов;

<sup>3</sup> Саратовский госуниверситет им. Н. Г. Чернышевского, г. Саратов, Россия

Описан подход, позволяющий в рамках метода крупных частиц проанализировать обобщённую синхронизацию однонаправлено связанных генераторов на виртуальном катоде. Для подтверждения результатов исследования проведена диагностика обобщённой синхронизации методом вспомогательной системы.

#### **ВВЕДЕНИЕ**

Хаотическая синхронизация в распределённых пучково-плазменных системах представляет собой важное фундаментальное явление в современной радиофизике и сверхвысокочастотной (СВЧ) электронике [1]. Применение хаотической синхронизации на практике возможно при разработке способов управления сложной динамикой СВЧ приборов и создании устройств для скрытой передачи данных [2, 3]. Одним из наиболее интересных и важных для исследования типов синхронизации является обобщённая синхронизация [4, 5]. Как было показано ранее [6], установление обобщённой синхронизации возможно при взаимодействии генераторов на виртуальном катоде — перспективных источников мощного широкополосного СВЧ излучения [7, 8]. Однако подробный анализ процессов, протекающих в связанных системах и приводящих к переходу к синхронной динамике, требует разработки и применения новых эффективных подходов к диагностике синхронизации. В частности, одной из наиболее эффективных методик, позволяющих дать количественную оценку поведению автономных и связанных динамических систем, в том числе и пучково-плазменной природы, является расчёт спектра показателей Ляпунова [9– 11]. В представленной работе рассматриваются аспекты применения этой методики к численному моделированию однонаправлено связанных генераторов на виртуальном катоде для диагностики режима обобщённой синхронизации.

### 1. МОДЕЛИРОВАНИЕ ИССЛЕДУЕМОЙ СИСТЕМЫ

Численный расчёт динамики генератора на виртуальном катоде в рамках одномерной квазиэлектростатической модели электронного пучка, пронизывающего межсеточное пространство, основывается на совместном решении уравнений движения каждой крупной частицы и уравнения Пуассона для определения распределения потенциала  $\varphi$  в пространстве дрейфа электронного потока [1, 7]:

$$\frac{\mathrm{d}^2 x}{\mathrm{d}t^2} = E(x), \qquad \frac{\partial^2 \varphi}{\partial t^2} = -\alpha^2 \rho(x), \qquad E = -\frac{\partial \varphi}{\partial x}. \tag{1}$$

Здесь  $\alpha = \omega_{\rm p} L/v_0$  — безразмерный параметр Пирса,  $\omega_{\rm p}$  — плазменная частота пучка, L — длина пространства дрейфа,  $v_0$  — скорость на входе в пространство дрейфа. Система (1) дополняется

<sup>\*</sup> grosipov@gmail.com

887

граничными условиями для уравнения Пуассона в виде  $\varphi(0,t)=0$  и  $\varphi(1,t)=\Delta\varphi$ , где  $\Delta\varphi$  — разность потенциалов между сетками диодного промежутка, создающая дополнительное тормозящее поле. Величины  $\alpha$  и  $\Delta\varphi$  являются основными управляющими параметрами, влияющими на динамику системы. Следует отметить, что все уравнения, используемые в численной модели, представлены в безразмерном виде (связь между размерными и безразмерными величинами можно найти, например, в работах [1,6,7]).

Соотношение между плотностью пространственного заряда  $\rho$  и положением крупных частиц в пространстве определяется процедурой билинейного взвешивания частиц в узлах пространственной сетки:

$$\rho(x_j) = \frac{1}{N_c} \sum_{i=1}^{N_p} \Theta(x_i - x_j),$$
 (2)

$$\Theta(x) = \begin{cases} 1 - x/\Delta x, & |x| \le \Delta x; \\ 0, & |x| > \Delta x. \end{cases}$$
 (3)

Здесь  $x_j$  — координата j-го узла пространственной сетки,  $x_i$  — координата i-ой крупной частицы,  $\Delta x$  — шаг пространственной сетки,  $N_{\rm c}$  — количество частиц в ячейке в невозмущённом состоянии,  $N_{\rm p}$  — полное количество частиц в системе.

Внешнее воздействие заключается в предварительной скоростной модуляции электронного потока внешним сигналом на входе в пространство дрейфа [6, 12]. Ввод и вывод мощности в такой виркаторной системе осуществляется с помощью отрезков спиральной электродинамической структуры. Возбуждение выходного отрезка электронным пучком можно описать с помощью телеграфных уравнений, если представить его как отрезок длинной линии из последовательно соединённых индуктивностей L и шунтирующих ёмкостей C [8].

Аналогично проводится расчёт модулирующего отрезка, однако в данном случае не учитывается обратное воздействие потока на спиральную систему. В случае связанных генераторов на виртуальном катоде коэффициент связи определяется отношением мощности, поступающей на вход ведомого генератора, к выходной мощности ведущего генератора.

### 2. РАСЧЁТ СПЕКТРА ПОКАЗАТЕЛЕЙ ЛЯПУНОВА ДЛЯ СВЯЗАННЫХ СИСТЕМ

Для расчёта спектра N старших показателей Ляпунова для системы, состоящей из двух однонаправлено связанных генераторов на виртуальном катоде, используется описанный в работе [13] подход, основанный на параллельном расчёте опорного состояния U(x,t) и набора N малых возмущений. При этом эволюция опорного состояния описывается методом крупных частиц, а эволюция возмущений — линеаризованным в окрестности опорного состояния оператором сплошной среды, включающим в себя линеаризованные уравнения движения, непрерывности и Пуассона:

$$\frac{\partial \xi_{\rho}}{\partial t} = -\bar{v}\frac{\partial \xi_{\rho}}{\partial x} - \xi_{\rho}\frac{\partial \bar{v}}{\partial x} - \rho\frac{\partial \xi_{v}}{\partial x} - \xi_{v}\frac{\partial \rho}{\partial x},\tag{4}$$

$$\frac{\partial \xi_v}{\partial t} = -\bar{v} \frac{\partial \xi_v}{\partial x} - \xi_v \frac{\partial \bar{v}}{\partial x} - \frac{\partial \xi_\varphi}{\partial x}, \tag{5}$$

$$\frac{\partial^2 \xi_{\varphi}}{\partial x^2} = -\alpha^2 \xi_{\rho}.\tag{6}$$

Здесь  $\xi_{\rho}$ ,  $\xi_{v}$  и  $\xi_{\varphi}$  — возмущения плотности пространственного заряда, скорости и потенциала соответственно, а  $\bar{v}$  — средняя скорость опорного состояния пучка в j-м узле, которая определяется

формулой

$$\bar{v}(x_j) = \frac{1}{N_c} \sum_{i=1}^{N_p} \Phi(x_j - x_i), \tag{7}$$

$$\Phi(x) = \begin{cases}
v_i, & |x| \le \Delta x/2; \\
0, & |x| > \Delta x/2.
\end{cases}$$
(8)

Состояние связанной системы будет определяться вектором  $U(x,t) = [\rho_{\rm d}(x,t), \bar{v}_{\rm d}(x,t), \rho_{\rm r}(x,t), \bar{v}_{\rm r}(x,t), \bar{v}_{\rm r}(x,t), \bar{v}_{\rm r}(x,t)]^{\rm T}$ , где величины с индексом «d» соответствуют ведущей системе, а величины с индексом «r» — ведомой, индекс «T» обозначает транспонирование. Для учёта связи при расчёте возмущений необходимо дополнить линеаризованные уравнения сплошной среды линейными телеграфными уравнениями для описания возмущения в спиральных электродинамических структурах.

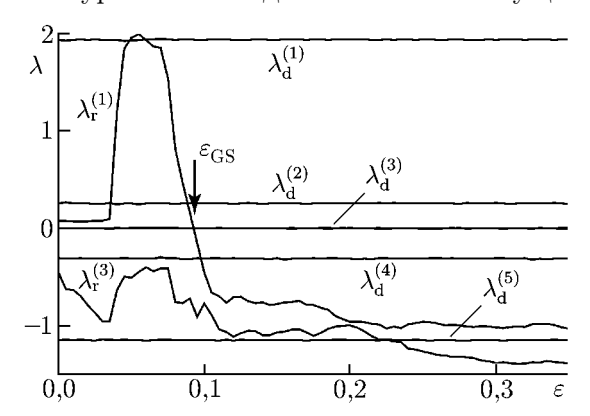


Рис. 1. Спектр старших показателей Ляпунова для системы однонаправлено связанных генераторов на виртуальном катоде. Спектру ведущего генератора соответствуют неизменяющиеся при варьировании параметра связи  $\varepsilon$  показатели Ляпунова, спектру ведомого — изменяющиеся. Параметры взаимодействующих генераторов:  $\Delta \varphi_{\rm d} = 0.50; \ \Delta \varphi_{\rm r} = 0.43; \ \alpha_{\rm d} = \alpha_{\rm r} = 0.90; \ \varepsilon_{\rm GS} = {\rm no}$ роговое значение параметра связи, при котором в системе однонаправленных генераторов на виртуальном катоде устанавливается обобщённая синхронизация

Расчёт спектра показателей Ляпунова для связанных систем позволяет выявлять наличие режима обобщённой синхронизации. Такой тип синхронизации подразумевает vстановление функционального отношения между состояниями взаимодействующих систем,  $U_{\rm r}=f(U_{\rm d})$ , где  $U_{\rm r}$  и  $U_{\rm d}$  — состояния ведомой и ведущей системы соответственно. Критерием наличия обобщённой синхронизации в системе однонаправлено связанных колебательных систем является переход через ноль «сверху» старшего показателя Ляпунова ведомой системы  $\lambda_{\rm r}^{(\hat{1})}$  и его отрицательность [9, 14]. На рис. 1 представлен спектр нескольких старших показателей Ляпунова для системы однонаправлено связанных генераторов на виртуальном катоде по величине коэффициента связи. Взаимодействующие генераторы настроены на разные динамические режимы: ведущий генератор демонстрирует гиперхаотическую динамику (с двумя положительными ляпуновскими экспонентами), а ведомый — хаотическую (с одной положительной ляпуновской экспонентой). В данном случае переход к режиму синхронной

динамики осуществляется при коэффициенте связи  $\varepsilon = 0,1,$  когда старший показатель Ляпунова ведомой системы становится отрицательным.

Результаты, полученные с помощью расчёта спектра показателей Ляпунова, подтверждаются и другими методами диагностики обобщённой синхронизации. В частности, для проверки адекватности предложенного подхода был использован метод вспомогательной системы [15], в котором вводится в рассмотрение вспомогательная система, идентичная ведомой, но с другими начальными условиями. В этом случае о наличии синхронизации можно говорить, если разность между состояниями  $U_{\rm r}$  ведомой и  $U_{\rm a}$  вспомогательной систем стремится к нулю. Определим состояние каждой из этих систем как  $U_{\rm r}(x,t) = [\rho_{\rm r}(x,t), \bar{v}_{\rm r}(x,t)]^{\rm T}$  и  $U_{\rm a}(x,t) = [\rho_{\rm a}(x,t), \bar{v}_{\rm a}(x,t)]^{\rm T}$ . Тогда

$$|\Delta U| = ||U_{\rm r}| - |U_{\rm a}|| = \left| \int_0^1 \sqrt{\rho_{\rm r}^2(x,t) + \bar{v}_{\rm r}^2(x,t)} \, dx - \int_0^1 \sqrt{\rho_{\rm a}^2(x,t) + \bar{v}_{\rm a}^2(x,t)} \, dx \right|. \tag{9}$$

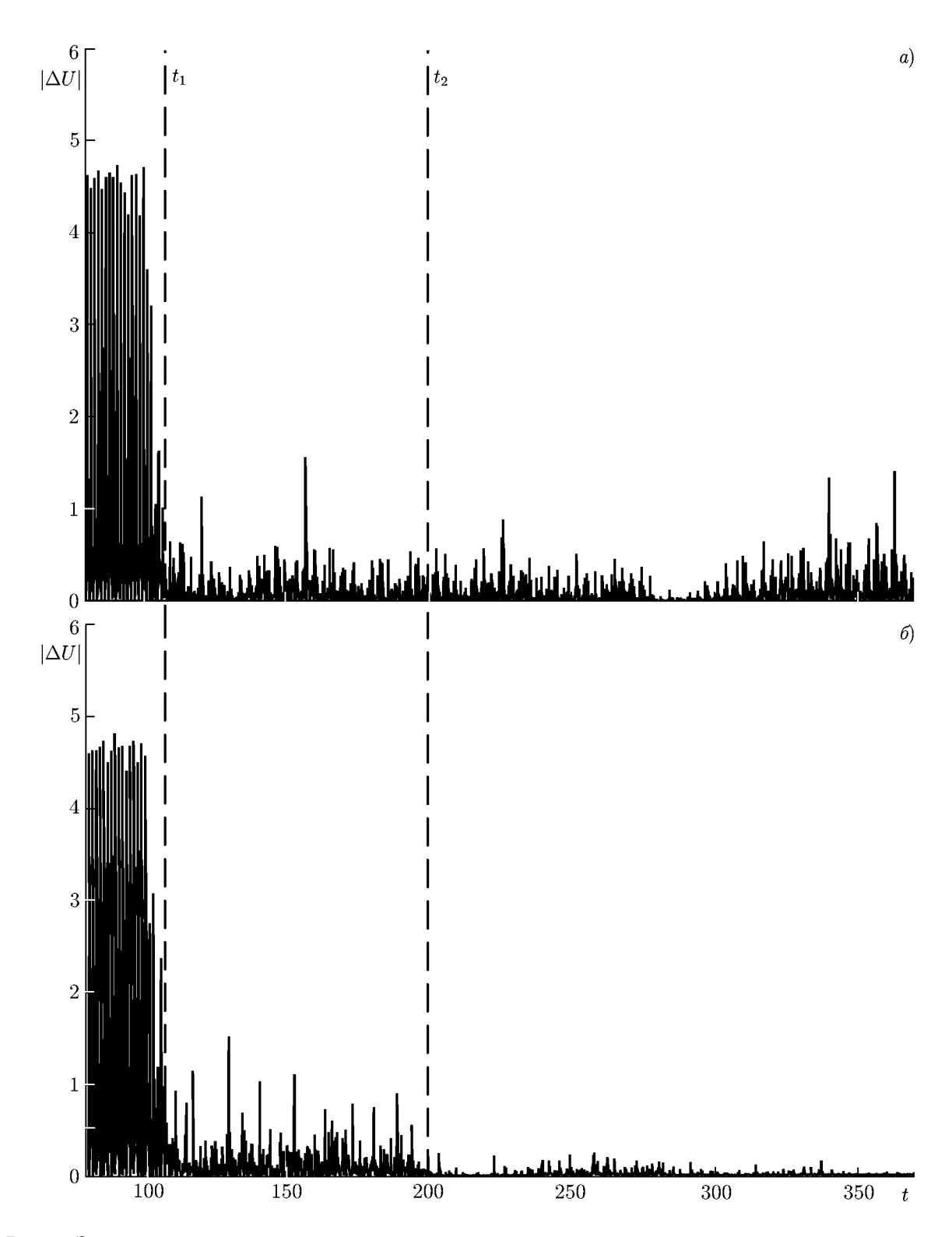


Рис. 2. Зависимость модуля разности между состояниями ведомой и вспомогательной систем от времени. Пунктирными линиями отмечены времена включения связи между взаимодействующими системами  $t_1$  и завершения переходного процесса  $t_2$ . Разность состояний построена для коэффициентов связи допорогового,  $\varepsilon = 0.08$  (a), и порогового,  $\varepsilon = 0.1$  (б), значений

На рис. 2 приведены зависимости модуля разности состояний ведомой и вспомогательной систем  $|\Delta U|$  от времени до и после порога установления синхронизации. Видно, что в первом случае после завершения переходного процесса состояния ведомой и вспомогательной систем не являются эквивалентными, в отличие от второго случая, когда разность между состояниями рассматриваемых систем близка к нулю.

Таким образом, в работе была предложена модификация метода расчёта спектра показателей Ляпунова для связанных пучково-плазменных систем, моделируемых в рамках метода крупных частиц, на примере системы однонаправлено связанных генераторов на виртуальном катоде. Было показано, что в такой системе возможно установление обобщённой синхронизации, про-исходящее при переходе через ноль «сверху» старшего показателя Ляпунова ведомой системы. Предложенный подход для диагностики синхронизации был подтверждён в рамках метода вспомогательной системы.

Работа выполнена при поддержке Российского научного фонда (соглашение 14–12–00811, раздел 2), РФФИ (проекты 14–02–31204, 13–02–90406, разделы 1, 3), а также в рамках выполнения государственного задания Минобрнауки России (задание 3.59.2014/K).

#### СПИСОК ЛИТЕРАТУРЫ

- 1. Короновский А. А., Трубецков Д. И., Храмов А. Е. Методы нелинейной динамики и хаоса в задачах электроники сверхвысоких частот. Т. 2. Нестационарные и хаотические процессы. М.: Физматлит, 2009. 392 с.
- 2. Залогин Н. Н., Кислов В. В. Широкополосные хаотические сигналы в радиотехнических и информационных системах. М.: Радиотехника, 2006. 208 с.
- 3. Короновский А. А., Москаленко О. И., Храмов А. Е. // Успехи физ. наук. 2009. Т. 179,  $\mathbb{N}$  12. С. 1 281.
- 4. Filatov R. A., Hramov A. E., Koronovskii A. A. // Phys. Lett. A. 2006. V. 358. P. 301.
- 5. Rulkov N. F., Sushchik M. M., Tsimring L. S., et al. // Phys. Rev. E. 1995. V. 51, No. 2. P. 980.
- 6. Короновский А. А., Москаленко О. И., Павлов А. С. и др. // ЖТФ. 2014. Т. 84, № 5. С. 1.
- 7. Калинин Ю. А., Короновский А. А., Храмов А. Е. и др. // Физика плазмы. 2005. Т. 31,  $\mathbb{N}$  11. С. 1 009
- 8. Егоров Е. Н., Калинин Ю. А., Короновский А. А. и др. // Письма в ЖТФ. 2006. Т. 32, № 9. С. 71.
- 9. Pyragas K. // Phys. Rev. E. 1997. V. 56, No. 5. P. 5183.
- 10. Hramov A. E., Koronovskii A. A., Maksimenko V. A., et al. // Phys. Plasmas. 2012. V. 19, No. 8. Art. no. 082302.
- 11. Hramov A. E., Rempen I. S. // Int. J. Electron. 2004. V. 91, No. 1. P. 1.
- 12. Phrolov N. S., Koronovskii A. A., Kalinin Ju. A., et al. // Phys. Lett. A. 2014. V. 378, No. 32–33. P. 2423.
- 13. Фролов Н. С., Максименко В. А., Ильенко К. и др. // Изв. РАН. Сер. физическая. 2014. Т. 78, № 2. С. 237.
- 14. Hramov A. E., Koronovskii A. A. // Phys. Rev. E. 2005. V. 71, No. 6. Art. no. 067201.
- 15. Abarbanel H. D., Rulkov N. F., Sushchik M. M. // Phys. Rev. E. 1996. V. 53. P. 4528.

Поступила в редакцию 12 ноября 2014 г.; принята в печать 12 апреля 2015 г.

# ANALYSIS OF SYNCHRONOUS DYNAMICS OF THE COUPLED OSCILLATORS ON THE VIRTUAL CATHODE BY CALCULATING THE LYAPUNOV-EXPONENT SPECTRUM

G. V. Osipov and N. S. Frolov

The method for analyzing the generalized synchronization of the unidirectionally coupled oscillators on the virtual cathode within the framework of the large-particle method is described. The generalized synchronization is diagnosed by the auxiliary-system method to confirm the results of the study.